

بررسی خواص سازه ای و هیدرولیکی بتن ژئوپلیمری سرباره ای حاوی نانوسیلیس و الیاف پلی الوفین در سدهای بتنی

محمدحسین منصورقناعی^۱

مرتضی بیک لریان^{۲*}

علیرضا مردوخ پور^۳

چکیده

در پژوهش حاضر جهت ساخت بتن ژئوپلیمری بمنظور بکارگیری در سدهای بتنی، ۶ طرح اختلاط شامل ۲۸۸ عدد نمونه بتنی از بتن کنترل حاوی سیمان پُرتلند و بتن ژئوپلیمری سرباره ای حاوی ۰ تا ۸ درصد نانوسیلیس و ۱ تا ۲ درصد الیاف پلی الوفین تهیه گردید که در سنین عمل آوری ۷، ۹۰ و ۹۰ روزه تحت آزمایش های مکانیکی و دوام قرار گرفتند، بمنظور بررسی ریزاساختاری در این پژوهش از آزمایش های SEM و XRF استفاده گردید. نتایج حاکی از بهبود میزان مقاومت فشاری، مقاومت کششی، نفوذ ناپذیری آب، عدم جذب مویینه آب برای بتن ژئوپلیمری حاوی ۸ درصد نانوسیلیس و ۲ درصد الیاف پلی الوفین (عنوان طرح بهینه) نسبت به بتن کنترل، به ترتیب به میزان ۳٪، ۹٪ و ۵۶٪ و ۶۵٪ برابر در سن ۹۰ روز عمل آوری بود. در این راستا حداکثر مقدار مقاومت فشاری و مقاومت کششی کسب شده به ترتیب ۸۲/۹۶ و ۵/۵۱ مگاپاسکال و حداقل میزان نفوذ آب در بتن ۱۳ میلیمتر و حداقل میزان سرعت جذب مویینه آب $0.49 \text{ Cm/s}^{1/2}$ برای بتن ژئوپلیمری بدست آمد. تصاویر SEM نشان از تقویت فرایند ژئوپلیمریزاسیون به واسطه تولید ژل های هیدراته بیشتر و بهبود ریزاساختار بتن ژئوپلیمری با افزایش حضور نانوذرات سیلیس بود.

واژه ها کلیدی:

بتن ژئوپلیمری، سرباره کوره آهنگدازی، نانوسیلیس، الیاف پلی الوفین، سد بتنی ژئوپلیمری.

^۱- دانشجوی دکتری مهندسی عمران، گروه مهندسی عمران، واحد چالوس، دانشگاه آزاد اسلامی، چالوس، ایران.

^{۲*}- گروه مهندسی عمران، واحد چالوس، دانشگاه آزاد اسلامی، چالوس، ایران. M.biklaryan@iauc.ac.ir

^۳- گروه مهندسی عمران، واحد لاهیجان، دانشگاه آزاد اسلامی، لاهیجان، ایران.

آلومینیم کلسیم هیدراته^۴ و سیلیکات آلومینیم سدیم هیدراته^۵ دارای ویژگی هایی فراوانی نسبت به سایر انواع بتن ها می باشد، این ویژگی ها شامل نقش چسبندگی، پرکنندگی و هسته زایی ذراتی از قبیل نانوسیلیس در برابر منافذ، حفرات و اجزاء تشکیل دهنده بتن ژئوپلیمری است که باعث گردیده تا به همراه سایر ویژگی های بتن، تاثیر بسزایی در خواص مکانیکی و هیدرولیکی این نوع از بتن ایجاد نماید. در این مطالعه آزمایشگاهی، تولید بتن ژئوپلیمری با خواص مکانیکی و دوام بالا، که بواسطه عدم مصرف سیمان منجر به کاهش تولید گاز CO_2 شده، از طرفی با مصرف سرباره انباسته شده در کارخانجات ذوب آهن، می تواند بعنوان مصالح حافظ محيط زیست معرفی و مورد استفاده قرار گیرد، این مزايا بعنوان جنبه های نوآورانه در تحقیق حاضر شناخته می شود.

ساخت نمونه و برنامه آزمایشگاهی

مصالح مصرفی

در این تحقیق، سرباره کوره آهنگدازی مصرفی در ساخت بتن ژئوپلیمری تحت استاندارد C989/C989MASTM مورد استفاده قرار گرفت و از کارخانه ذوب آهن اصفهان خریداری شد، مشخصات شیمیایی سرباره در جدول(۱) و مشخصات فیزیکی و مکانیک آن در جدول(۲) ارائه گردیده است.

جدول(۱): مشخصات شیمیایی سرباره کوره آهنگدازی

درصد	ماده موجود
۳۶/۷۲	CaO
۳۵/۵	SiO ₂
۹/۱۷	Al ₂ O ₃
۷/۴۵	Fe ₂ O ₃
۶/۲۴	MgO
۰/۱۲	SO ₃
۱/۲۱	Na ₂ O
۰/۹۲	K ₂ O
۲/۴۹	TiO ₂
۰/۱۸	MnO

^۴ Ettringite Gel (C-A-S-H)

^۵ Gel N-A-S-H

مقدمه

تولید سیمان همواره با چالش هایی مواجه بوده است، ایجاد گاز سمی دی اکسید کربن (CO_2) و انتشار آن در جو در راستای تولید سیمان یکی از این موارد می باشد، مصرف سوخت های فسیلی ناشی از سوخت کوره کارخانجات تولید سیمان از معاویب دیگر تولید سیمان به شمار می رود، در این راستا دانشمندان به فکر یافتن ماده ای نوین حاوی مواد آلومینوسیلیکاتی با خواص پوزولانی بالا برای جایگزینی با سیمان در بتن بودند که بتواند ضمن برطرف کردن دغدغه های زیست محیطی، خواص مکانیکی و دوام بالایی را در بتن تامین نماید.

اصطلاح ژئوپلیمر اولین بار در سال ۱۹۵۰ توسط پروفسور گلوخفسکی^۱ در اتحاد جماهیر شوروی مطرح شد و در ادامه توسط جZF دیویدویتس در سال ۱۹۷۹ مورد تحقیق قرار گرفت (Dityolideo^۲ و همکاران، ۲۰۱۸). بتن ژئوپلیمری ماده ای نوین در صنعت سازه ای است که می تواند جایگزین مناسبی برای بتن معمولی باشد، در ساخت بتن ژئوپلیمری از سیمان معمولی استفاده نمی گردد و بجای آن از مواد ژئوپلیمری که دارای خواص چسبندگی بالایی می باشند بهره گرفته می شود، این مواد ضمن ایفای نقش چسبندگی بر اساس ماهیت خود، می توانند نقش پرکنندگی و هسته زایی را در ریزساختار بتن داشته باشند.

ساختار اصلی بتن ژئوپلیمری از دو بخش تشکیل شده است، بخش اول شامل مواد پایه تشکیل دهنده ملات ژئوپلیمری می باشند که خاصیت چسبندگی و پر کنندگی دارد و از بهترین این مواد می توان به پوزولان هایی مانند سرباره کوره آهنگدازی و نانوسیلیس اشاره کرد، بخش دوم حاوی محلول های قلیایی مانند هیدرالکسید سدیم و سیلیکات سدیم هستند که نقش واکنش پذیری و فعل سازی را در مواجهه با مواد پایه را بر عهده دارند. ریزساختار بتن ژئوپلیمری به واسطه تشکیل ژل های هیدراته از قبیل سیلیکات کلسیم هیدراته^۳، سیلیکات

^۱ Glukhovsky

^۲ de Toledo

^۳ Tobermorite Gel (C-S-H)



شکل(۱): الیاف پلی الوفین

جدول(۴): مشخصات فیزیکی و مکانیکی الیاف پلی الوفین

۹۲۰	وزن مخصوص (kg/m ³)
۵۰۰	مقاومت کششی (N/mm ²)
۳۰	طول (mm)
.۰/۸	قطر (mm)
مواج	شکل سطحی
۳۷/۵	نسبت طول به قطر

۰/۰۲

L.O.I

جدول(۲): مشخصات فیزیکی و مکانیکی سرباره

۲۴۵۰	وزن مخصوص (kg/m ³)
۲۲۰۰	سطح مخصوص (Cm ² /gr)
۱/۲	مدول الاستیسیته (Pa)
۹۶۰	چگالی ظاهری (kg/m ³)
۲/۱	اندازه ذرات (μm)
کرم	رنگ

نانوسیلیس مصرفی با خلوص ۹۹/۸ درصد بکارگرفته شد، این ماده از شرکت ایونیک آلمان خریداری شده است، برخی از مشخصات نانوسیلیس مصرفی در این پژوهش مطابق جدول(۳) ارائه گردیده است. این محصول تولید شده شرکت ایونیک آلمان می باشد.

سیمان مصرفی در تحقیق پیش رو از نوع پُرتلند تیپ II دیلمان بوده و آب مصرف شده برای تمامی طرح های اختلاط از آب شرب شهر لاهیجان استفاده گردیده است، این آب دارای PH در محدوده ۶/۵ الی ۷/۵ و وزن مخصوص kg/m³ ۱۰۰۰ است.

سنگدانه های مصرفی به لحاظ دانه بندی در محدوده استاندارد ASTM C33 می باشند، مدول نرمی سنگدانه ها ۲/۸۵ میلیمتر و حداقل و حداکثر قطر شن مصرفی ۴/۷۵ و ۱۹ میلیمتر با وزن مخصوص ۲۷۵۰ کیلوگرم بر متر مکعب و برای ماسه حداقل قطر ذرات ۷۵ میکرومتر و حداکثر آن ۱۹ میلیمتر با وزن مخصوص ۲۶۵۰ کیلوگرم بر متر مکعب انتخاب گردید، سنگدانه های تأمین شده از کارخانجات شن و ماسه شهرستان لاهیجان خریداری شد و به لحاظ حذف ناخالصی های آلی، پاک شده است. محققین معتقدند که سنگدانه ها به علت اینکه نسبت حجمی بیشتری را در بتن اشغال می کنند، تاثیر قابل توجهی بر خصوصیات مکانیکی بتن دارند (دباغ و اکبرپور، ۲۰۱۷).

ابرووان کننده مصرفی در این تحقیق بر پایه پلی کربوکسیلات نرمال تحت استاندارد ASTM C494 و با وزن مخصوص ۱۱۰۰ کیلوگرم بر متر مکعب می باشد. بتن

جدول(۳): مشخصات نانوسیلیس

سفید	رنگ
جامد	حالت
۲۴۰۰	وزن مخصوص (kg/m ³)
۱۴ الی ۷	قطر ذرات (nm)
۶۰ الی ۲۰	اندازه ذرات (nm)
% ۹۹/۸	خلوص
۴/۷ الی ۳/۷	PH

الیاف پلی الوفین مصرف شده در این تحقیق تحت استاندارد ASTM D7508/D7508M رئوپلیمری قرار گرفته است، نمونه ای از این الیاف در شکل(۱) و برخی از مشخصات فیزیکی و مکانیکی آن در جدول(۴) نشان داده شده است.

نمونه بتنی با ابعاد استوانه ۳۰*۱۵ سانتی متر، آزمایش نفوذپذیری تعداد ۴ نمونه بتنی با ابعاد مکعب ۲۰*۲۰*۲۰ سانتی متر و برای آزمایش جذب مویینه آب در بتن تعداد ۴ نمونه بتنی با ابعاد دیسکی ۱۰*۵ سانتی متر تهیه گردید که میانگین نتایج نمونه ها در هر مرحله بعنوان معیار بررسی و تحلیل مورد استفاده قرار گرفت. نسبت آب به سیمان(W/C) در تمامی طرح ها بطور ثابت ۰/۴۵ در نظر گرفته شد. در بتن ژئوپلیمری منظور از نسبت آب به سیمان، نسبت محلول قلیایی به مواد پایه مصرفی (سرباره، نانوسیلیس و الیاف) است. در این تحقیق جهت ساخت نمونه ها براساس طرح اختلاط، درصد نانوسیلیس مصرفی با جایگزینی سرباره کوره آهنگدازی در حجم کل بتن لحاظ گردیده است، اما الیاف مصرفی جایگزین مصالح مصرفی نگردیده و فقط به میزان درصد وزن مخصوص خودش به حجم کل بتن اضافه شده است، بدیهی است در چنین شرایطی حجم واحد بتن ثابت می ماند و از مجموع تقسیم مصالح مصرفی بر وزن مخصوص آنها، حجم واحد بدست می آید.

در ادامه بمنظور ارزیابی اثر مصالح متشکله بر ریزساختار بتن، آزمایش طیف سنجی فلورسانس اشعه ایکس(XRF) در سن عمل آوری ۷ روزه و آزمایش تصاویر میکروسکوپ الکترونیک روبشی (SEM) در سن عمل آوری ۹۰ روزه انجام پذیرفت.

نحوه ساخت و عمل آوری نمونه ها
براساس جداول طرح اختلاط (۵) و (۶) نمونه های بتنی در ۶ طرح و ۲۸۸ نمونه ساخته شدند. در این راستا مصالح مصرفی در ابتدا توزین گردیدند، سپس مصالح خشک در چند مرحله داخل دستگاه میکسر در حال گردش به هم افزوده شدند و عملیات ترکیب مصالح خشک تا ۳ دقیقه به طول انجامید، در مرحله بعدی، آب، ابرروان کننده و محلول قلیایی به ترکیب اضافه شدند و عملیات میکس ۳ دقیقه دیگر ادامه پیدا کرد. پس از آماده شدن ملات، بتن در دو مرحله داخل قالب های فلزی روغن کاری شده ریخته شد و در هر مرحله با ۲۵ ضربه میله متراکم گردید. در ادامه نمونه ها به منظور تراکم بیشتر به مدت ۱ دقیقه

ژئوپلیمری تازه به علت لزجت بالا موجود در محلول قلیایی در مقایسه با بتن حاوی سیمان پُرتلند معمولی تازه، کارایی^۱ ضعیفتری دارد، جهت حل این مشکل یک فوق روان کننده مبتنی بر پلی کربوکسیلات اغلب به علت پیوندهای قوی مابین کلسیم با بار مثبت و پلی کربوکسیلات با بار منفی، بهترین گرینه است(پیلور و همکاران، ۲۰۱۸). محلول قلیایی مصرفی در این تحقیق، ترکیبی از سیلیکات سدیم و هیدرالکسیدسدیم بصورت محلول با مولاریته ۱۲ می باشد، نسبت وزنی مصرف شده محلول سیلیکات سدیم به هیدرالکسیدسدیم ۲/۵ است، این محلول دارای وزن مخصوص ترکیبی برابر 1483 kg/m^3 می باشد. تحقیقات نشان داده است که استفاده از محلول فعال ساز قلیایی هیدرالکسیدپتاسیم در بتن ژئوپلیمری، کارآمدتر از محلول هیدرالکسیدپتاسیم است، زیرا Si^{4+} و Al^{3+} هیدرالکسیدسدیم مقدار بیشتری از یون های Al^{3+} و Si^{4+} را نسبت به محلول هیدرالکسیدپتاسیم حل می کند، همچنین غلظت محلول قلیایی بر کارایی و مقاومت فشاری بتن ژئوپلیمری تأثیر می گذارد(پیلور و همکاران، ۲۰۱۸).
حداکثر مقاومت فشاری، مقاومت کششی دونیم شدن و مقاومت خمشی برای نمونه های ۲۸ روزه بتن ژئوپلیمری سرباره ای حاوی محلول قلیایی با غلظت مولاریته ۱۲ مولار گزارش شده است(کومار^۲ و همکاران، ۲۰۱۸).

طرح اختلاط

استاندارد مجزا برای طرح اختلاط بتن ژئوپلیمری موجود نمی باشد، لذا به تبعیت از برخی پژوهش های آزمایشگاهی (دب^۳ و همکاران، ۲۰۱۵. مقدم و همکاران، ۲۰۲۱)، در این تحقیق آزمایشگاهی از طرح اختلاط تحت توصیه کمیته ACI 211.1-89 استفاده گردید، در این راستا از ۶ طرح اختلاط با نسبت های مختلف مصالح به تعداد ۲۸۸ نمونه بتنی مطابق با طرح های تهیه شده در جداول(۵) و (۶) ساخته شد. برای هر دوره عمل آوری، جهت انجام آزمایش مقاومت فشاری بتن، تعداد ۴ نمونه بتنی با ابعاد مکعب ۱۰*۱۰*۱۰ سانتی متر، آزمایش مقاومت کششی تعداد ۴

^۱ Workability

^۲ Kumar

^۳ Deb

ژئوپلیمری به مدت ۴۸ ساعت تحت دمای ۶۰ درجه سلسیوس بمنظور افزایش استحکام و بهبود خواص مکانیکی و دوام در دستگاه گرمهن قرار گرفتند. در ادامه نمونه های بتن ژئوپلیمری در فضای خشک و دمای اتاق تا زمان انجام آزمایش عمل آوری شدند و نمونه های بتن فرارسیدن زمان آزمایش عمل آوری شدند.

بر روی میز، ویبره شدند. سپس نمونه ها به مدت ۲۴ ساعت در دمای اتاق (۲۰ الی ۲۵ درجه سلسیوس) نگهداری شدند، در ادامه نمونه ها از قالب جداسازی شده و نمونه های بتن کنترل در داخل آب تحت دمای اتاق تا زمان انجام آزمایش عمل آوری شدند و نمونه های بتن

جدول(۵): مشخصات طرح اختلاط بتن(براساس درصد)

٪	نوع بتن	طرح				
			الیاف پلی آلفین	نانوسیلیس	سریاره	سیمان
۰	۰	۱	پُرتلند	۰	۱۰۰	
۰	۰	۲	ژئوپلیمر	۱۰۰	۰	
۰	۴	۳	ژئوپلیمر	۹۶	۰	
۰	۸	۴	ژئوپلیمر	۹۲	۰	
٪ ۱	۸	۵	ژئوپلیمر	۹۲	۰	
٪ ۲	۸	۶	ژئوپلیمر	۹۲	۰	

جدول(۶): مشخصات طرح اختلاط بتن(براساس وزن)

ابروان کننده	ماسه	شن	الیاف	نانو سیلیس	سریاره	محلول قلیایی	آب	سیمان	نوع بتن	طرح	kg/m ³	
											کسر	مقدار
۹	۷۶۱/۱۳	۱۰۰۰	۰	۰	۰	۰	۲۰۲/۵	۴۵۰	پُرتلند	۱		
۹	۸۱۶/۱۰	۱۰۰۰	۰	۰	۴۵۰	۲۰۲/۵	۰	۰	ژئوپلیمر	۲		
۹	۷۶۷/۴۲	۱۰۰۰	۰	۱۸	۴۳۲	۲۰۲/۵	۰	۰	ژئوپلیمر	۳		
۹	۷۱۸/۷۵	۱۰۰۰	۰	۳۶	۴۱۴	۲۰۲/۵	۰	۰	ژئوپلیمر	۴		
۹	۶۷۲/۷۸	۱۰۰۰	۹/۲	۳۶	۴۳۲	۲۰۲/۵	۰	۰	ژئوپلیمر	۵		
۹	۶۴۶/۲۸	۱۰۰۰	۱۸/۴	۳۶	۴۳۲	۲۰۲/۵	۰	۰	ژئوپلیمر	۶		

روش های آزمایش و استانداردها
در پژوهش حاضر، هر یک از آزمایش ها در سنین عمل آوری ۷، ۲۸ و ۹۰ روزه بر روی ۷۲ نمونه بتنی انجام پذیرفت، در این راستا آزمایش مقاومت فشاری بتن بر روی نمونه ها با ابعاد مکعب $10 \times 10 \times 10$ سانتی متر تحت استاندارد 3-12390 BS EN انجام پذیرفت، در ابتدا نمونه ها در سن عمل آوری تعیین شده کاملاً خشک و تمیز شدند و به نحوی در دستگاه جک بتن شکن قرار داده

تحقیقات نشان داده است که مخلوط های بتن ژئوپلیمری تحت عمل آوری حرارت ۶۰ درجه در ۲۴ ساعت اولیه، توانسته پس از ۳ روز بیش از ۷۵ درصد از مقاومت ۲۸ روزه بین ۶۰ الی ۸۵ مگاپاسکال را کسب نمایند(ملکاوری^۱ و همکاران، ۲۰۱۶). همچنین نتایج بررسی ها نشان می دهد که مقاومت بتن ژئوپلیمری با افزایش دمای عمل آوری افزایش می یابد (ونکاتیسان^۲ و پازانی، ۲۰۱۶).

^۱ Malkawi^۲ Venkatesan

توجه به وزن ایجاد شدن در نمونه های بتونی، در فواصل زمانی ۳۰۰، ۲۴۰، ۱۸۰، ۱۲۰، ۱۰۰، ۶۰، ۳۰، ۲۰، ۱۵، ۱۰ و ۳۶۰ دقیقه، مقادیر جذب آب محاسبه گردید.

آزمایش ها و تفسیر نتایج آزمایش مقاومت فشاری بتن

نتایج حاصل از انجام آزمایش مکانیکی و مخرب مقاومت فشاری بتن در شکل(۲) نشان داده شده است.

براساس این نتایج مشاهده می گرد که با افزایش سن عمل آوری بتن در تمام طرح ها، مقدار مقاومت فشاری بتن افزایش می یابد، این موضوع را می توان به دلیل فرایند تکمیل هیدراتاسیون^۱ و ژئوپلیمریزاسیون(ژئوبسپارش)^۲ با سپری شدن زمان نسبت داد که موجب تراکم و انسجام بیشتر در ماتریس سیمان گردیده است، بیشترین میزان افزایش مقاومت فشاری بتن در سن ۹۰ روزه نسبت به ۷ روزه و ۲۸ روزه، متعلق به طرح ۱ حاوی بتن کنترل به ترتیب به میزان ۴۶ درصد و ۱۲ درصد افزایش در مقاومت داشته است. بیشترین میزان مقاومت فشاری کسب شده در هر سه سن عمل آوری، متعلق به طرح ۴ و کمترین مقدار آن مربوط به طرح ۱ است.

عمل آوری ۴۸ ساعته بتن ژئوپلیمری در دمای ۶۰ درجه به افزایش استحکام فشاری بتن کمک نموده است. تحقیقات نشان می دهد که مقاومت فشاری بتن ژئوپلیمری سرباره ای در ۲۴ ساعت نخست به رقم بالای ۳۵ مگاپاسکال می رسد و پس از گذشت ۷ روز از زمان ساخت، رشد مقاومتی در حدود ۷۰ درصد مقاومت نهایی خود را کسب می کنند و این روند رشد مقاومت همچنان با گذشت زمان ادامه می یابد (نوفلاح، ۲۰۱۸). همچنین مقاومت فشاری ۹۱ روزه خمیر سیمان ژئوپلیمری حدود ۷۴ درصد بیش از مقاومت فشاری بتن معمولی بدست آمده است(جعفری ندوشن و رمضانیانپور، ۲۰۱۹).

در این تحقیق، افزودن نانوسیلیس تا ۸ درصد به بتن ژئوپلیمری موجب افزایش میزان مقاومت فشاری بتن گردیده است، ذرات نانوسیلیس موجب تسريع در فرایند واکنش پذیری می گردند و به تشکیل ژل های هیدراته

شدند که دو سطح مقابله که در موقع بتن ریزی مجاور قالب بودند، در تماس با رکاب های فوقانی و تحتانی دستگاه باشند، سپس نیرو براساس استاندارد تعیین شده بصورت ثابت تا لحظه شکستن، به نمونه وارد شد و در لحظه شکست مقدار نیروی وارد ثبت گردید.

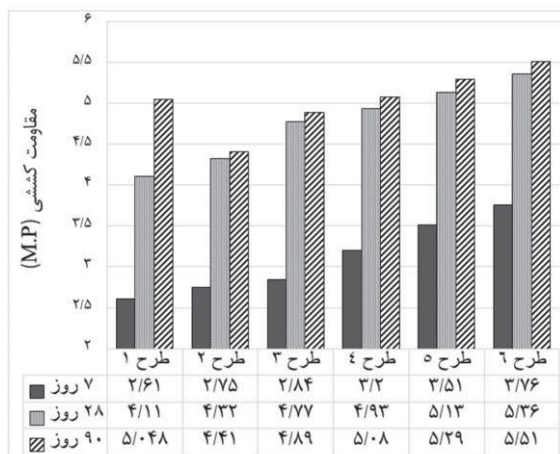
آزمایش مقاومت کششی بتن به روش دونیم شدن استوانه بر روی نمونه ها با ابعاد استوانه ۱۵*۳۰ سانتی متر تحت استاندارد ASTM C496 انجام پذیرفت، در این راستا نمونه ها از وجه بلند(۳۰ سانتی متری) استوانه زیر جک بتن شکن قرار گرفتند و اعمال نیرو تا لحظه شکست نمونه بتنی، ادامه یافت. آزمایش تعیین میزان نفوذپذیری آب در بتن برای نمونه با ابعاد مکعب در اندازه های ۱۲*۱۲*۱۲ سانتی متر تحت استاندارد BS EN 12390-8 انجام پذیرفت، براساس این استاندارد در سن عمل آوری تعیین شده نمونه ها از چهار وجه با چسب آکواریوم ضد آب گردیدند و تنها از دو وجه پائین و بالا بمنظور انجام آزمایش آزاد باقی ماندند، پس از جانمایی نمونه ها در قالب دستگاه، مطابق با استاندارد نمونه ها به مدت ۷۲±۲ ساعت تحت فشار آب ۵۰۰±۵ کیلوپاسکال قرار گرفتند، در طول دوره آزمایش فشار آب بر نمونه ها کنترل گردید، پس از سپری شدن مدت زمان تعیین شده نمونه ها شکسته شدند و عمق نفوذ آب در ارتفاع نمونه بتنی اندازه گیری گردید.

آزمایش جذب موئینه آب در بتن برای نمونه ها با ابعاد استوانه در اندازه ۱۰*۵ سانتی متر تحت استاندارد ASTM C1585-04 انجام گرفت، براساس این استاندارد در ابتدا نمونه های بتنی در سن عمل آوری هدف به مدت ۷۲ ساعت در داخل گرمکن با محفظه بسته تحت حرارت ۵۰±۲ درجه سلسیوس گرما داده شدند تا نمونه بطور کامل خشک و آب موجود در حفرات موئینه تخلیه گردند، سپس نمونه خشک وزن گردید، در ادامه نمونه ها داخل ظرف بر روی شبکه های مش میگردها به نحوی قرار گرفتند که آب تا ارتفاع ۲±۱ میلیمتر بالاتر از کف نمونه بررسد، روی ظرف را از پلاستیک پوشانده تا از تغییر آب جلوگیری شود، در ادامه آهنگ بالاروندگی آب که بواسطه پر شدن حفرات موئینه از آب می باشد شروع گردید، با

^۱ Hydration

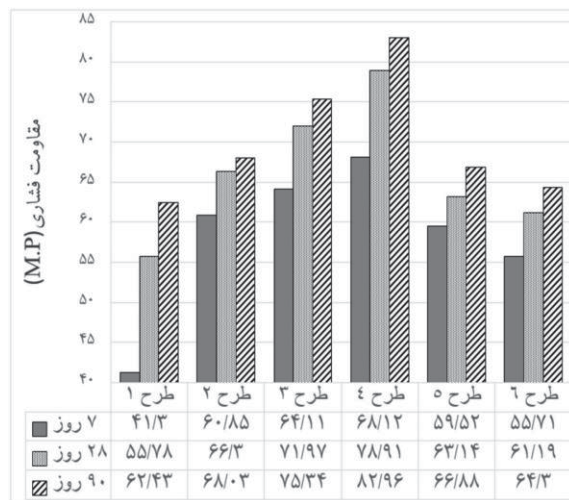
^۲ GeoPolymerization

شكل(۴) نشان داده شده است، براساس این نتایج مشاهده می گردد که با افزایش سن عمل آوری در بتن، میزان مقاومت کششی نمونه ها افزایش می یابد، این موضوع به دلیل مشارکت بیشتر ذرات آلومینوسیلیکاتی در فرایند هیدراتاسیون و ژئوپلیمریزاسیون با سپری شدن زمان می باشد که منجر به تولید ژل های هیدراته بیشتری گردیده است. بیشترین میزان افزایش مقاومت کششی بتن ۹۰ روزه نسبت به ۷ روزه و ۲۸ روزه، متعلق به طرح ۱ حاوی بتن کنترل به ترتیب به میزان ۹۳ درصد و ۲۲ درصد افزایش مقاومت است. بیشترین مقدار مقاومت کششی کسب شده در ۷ روز عمل آوری متعلق به طرح ۶ و کمترین مقدار آن متعلق به طرح ۱ است و در سن عمل آوری ۹۰ روز، بیشترین و کمترین این مقدار مربوط به طرح ۶ و طرح ۲ است. افزودن نانوسیلیس تا ۸ درصد به بتن ژئوپلیمری موجب افزایش میزان مقاومت کششی بتن شده است. افزودن الیاف پلی الوفین به بتن طرح ۵ و ۶ در تمام سنین مختلف در بتن و ساخت بتن الیافی^۳ به عنوان یک گام موثر در جلوگیری از انتشار ریزترک ها و ترک ها و جبران ضعف مقاومت کششی بتن محسوب می گردد(صدرممتأ و همکاران، ۲۰۱۵).



شكل(۴) : نتایج مقاومت کششی نمونه ها

کمک می کنند و تاثیر بسزایی در افزایش تراکم و چگالی در ساختار بتن علی الخصوص در نواحی انتقال بین سطحی(ITZ) ما بین سنگدانه(و الیاف) با ملات ایجاد می نمایند. در طرح های ۵ و ۶ ، افزودن الیاف پلی الوفین به بتن موجب تضعیف در میزان کسب مقاومت فشاری بتن ژئوپلیمری در مقایسه با بتن طرح ۴ (فاقد الیاف) گردیده است. این عیب می تواند به دلیل ورود نقص های داخلی کوچک^۱ در ماتریس ژئوپلیمر ناشی از اضافه الیاف باشد(وانگ^۲ و همکاران، ۲۰۰۲). در شکل(۳) نمونه بتني تحت بارگذاری فشاری در تحقیق حاضر مشاهده می گردد.



شكل(۲) : نتایج مقاومت فشاری نمونه های بتني



شكل(۳) : نمونه بتني تحت بارگذاری فشاری

آزمایش مقاومت کششی بتن
نتایج حاصل از انجام آزمایش مقاومت کششی بتن در

^۱ micro internal defects^۲ Wang

نانوسیلیس و سرباره در ترکیب با محلول قلیایی و تولید ژل های هیدراته بیشتر از نوع ژل C-A-S-H، C-S-H و N-A-S-H و نقش پرکنندگی این ژل ها در حفرات و چسبندگی بین اجزاء موجود در ریزاساختار بتن ژئوپلیمری دانست. افزودن الیاف در طرح ۵ و ۶ به بتن ژئوپلیمری موجب کاهش ارتفاع و عمق نفوذ آب در بتن نسبت به طرح ۴ با درصد مشابه نانوسیلیس و سرباره گردیده است، این مطلب را می توان ناشی از پیوند مناسب خمیر ژئوپلیمری با الیاف پلی الوفین در ناحیه انتقال بین سطحی^۱ دانست. نفوذپذیری مخلوط های حاوی نانوسیلیس و میکروسیلیس در مقدار بهینه شان به کمینه مقدار خود می رسد و محصولات با سطح پوشیده کم، توان بالای در تولید خوش های اضافی ژل سیلیکات کلسیم هیدراته دارند(تاج الدینی، ۲۰۱۶). همچنین در تحقیقی بر روی افزودن سه پوزولان سرباره ذوب آهن، سرباره ذوب مس و متاکائولن به بتن، کمترین میزان نفوذپذیری^۲ آب در نمونه های بتنی حاوی ۲۰ درصد پوزولان سرباره ذوب آهن گزارش شد(احمد و حسینی، ۲۰۱۷). در شکل(۶) میزان نفوذ آب در نمونه بتنی در پژوهش حاضر، در حال اندازه گیری می باشد.



شکل(۶) : اندازه گیری ارتفاع نفوذ آب در آزمایش نفوذپذیری

آزمایش جذب مویینه آب در بتن

نتایج حاصل از آزمایش جذب مویینه آب در بتن در سنین عمل آوری ۷، ۲۸ و ۹۰ روزه، مطابق شکل(۷) ارائه گردیده

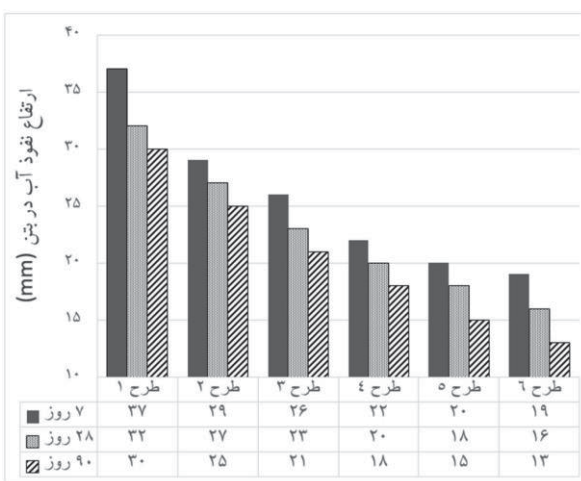
^۱ Interfacial transition zone(ITZ)

^۲ Permeability

آزمایش نفوذپذیری آب در بتن

نتایج حاصل از آزمایش نفوذپذیری آب در بتن برای تمام طرح های اختلاط در سنین عمل آوری ۷، ۲۸ و ۹۰ روز مطابق شکل(۵) ارائه گردیده است، براساس این نتایج مشاهده می گردد که در تمام طرح ها با افزایش سن عمل آوری بتن، میزان نفوذ آب در بتن کاهش پیدا می کند، این امر را می توان نتیجه تکمیل فرایند هیدراتاسیون و ژئوپلیمریزاسیون(ژئوپسپارش) در خمیر سیمان بتن کنترل و بتن ژئوپلیمری دانست که منجر به تولید ژل های هیدراته و مشارکت این ژل ها در افزایش تراکم و انسجام ماتریس سیمان گردیده است.

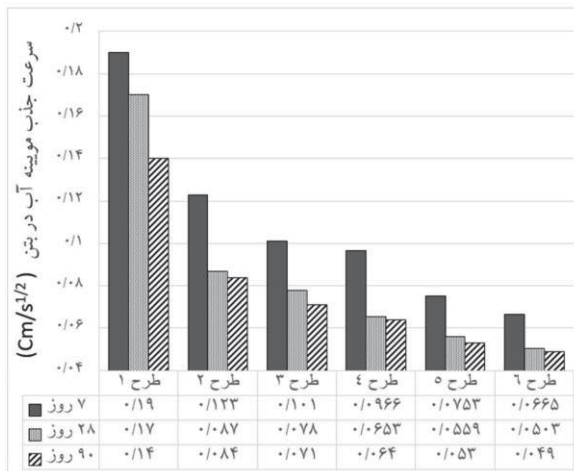
برای بتن ژئوپلیمری میزان نفوذپذیری آب در بتن در سنین ۷، ۲۸، ۹۰ روزه برای تمام طرح ها کمتر از نفوذ آب در بتن کنترل در دوره عمل آوری مشابه می باشد و این مطلب نشان از فعالیت پوزولانی مناسب سرباره و نانوسیلیس و نقش چسبندگی و پرکنندگی بالای این ذرات در مواجهه با حفرات و منافذ می باشد. بهترین عملکرد در نفوذناپذیری آب در بتن متعلق به سن ۹۰ روزه طرح ۶ حاوی ۹۲ درصد سرباره کوره آهنگذاری، نانوسیلیس و ۶ درصد الیاف پلی الوفین با ۱۳ میلیمتر عمق نفوذ آب می باشد و ضعیف ترین عملکرد متعلق به سن ۷ روزه بتن کنترل با ۳۷ میلیمتر ارتفاع نفوذ آب می باشد.



شکل(۵) : نتایج آزمایش نفوذپذیری آب

با افزودن نانوسیلیس تا ۸ درصد به بتن ژئوپلیمری، مقدار نفوذ آب در بتن کاهش می یابد، این کاهش نفوذ آب در بتن را می توان نتیجه واکنش پذیری سریع و پوزولانی

شاهد بهبود و کاهش نرخ سرعت پیشروی آب موینه در بتن هستیم، این امر را می توان در نتیجه کاهش فضاهای خالی به دلیل تشکیل و نقش پرکنندگی ژل های سیلیکات هیدراته حاصل از ترکیب ذرات سرباره و نانوسیلیس در مجاورت با محلول قلیافعال در بتن ژئوپلیمری دانست. افزودن الیاف پلی الگین در طرح ۵ و ۶ بتن ژئوپلیمری موجب کاهش سرعت جذب موینه آب در بتن نسبت به بتن ژئوپلیمری طرح ۴ (بدون الیاف) با درصد مشابه سرباره و نانوسیلیس گردیده است، این موضوع نشان از عملکرد مناسب الیاف پلی الگین در ترکیب و پیوند بین اجزاء ملات ژئوپلیمر می باشد.



شکل(۷) : نتایج آزمایش جذب موینه آب

آزمایش SEM و XRF

آزمایش طیف سنجی فلورسانس اشعه ایکس(XRF) بر روی بتن آسیاب شده بر گرفته از مرکز نمونه های بتنی در سن عمل آوری ۷ روزه توسط دستگاه طیف سنج فلورسانس اشعه ایکس با مدل Philips PW1730 تحت آزمایش قرار گرفت.

نتایج حاصل از این آزمون در جدول(۷) نشان داده شده است، براساس این نتایج مشاهده می گردد که عناصری مانند سیلیس، اکسیدآلومینیوم، اکسیدکلسیم و همچنین اکسیدسدیم بعنوان چهار عنصر اصلی با بیشترین میزان مشارکت در ترکیبات بتن ژئوپلیمری حضور دارند، ذرات سیلیس و آلومینیوم بعنوان عناصر اصلی پیش ماده^۲ در

است. براساس نتایج حاصله مشاهده می گردد که در تمام طرح های اختلاط با افزایش سن عمل آوری بتن، سرعت پیش روی آب جذب شده در حفرات موینه در بخش ساختار خمیر سخت شده بتن سیر نزولی دارد، این موضوع دوام در بتن با افزایش سن عمل آوری می باشد، بالا بودن میزان جذب آب موینه می تواند نشانه وجود فضاهای موینه و ضعف در ساختار ماتریس سیمان باشد. افزایش سن عمل آوری موجب تکمیل فرایند هیدراتاسون و ژئوپلیمریزاسیون گردیده است و در این راستا شاهد مشارکت بیشتر ذرات سیمانی (از نوع پرتلندی و پوزولانی) در فرایند واکنش شیمیایی و تولید ژل های هیدراته بیشتری هستیم که با توجه به نقش چسبندگی و پرکنندگی این ژل ها در ملات سیمان بتن کنترل و بتن ژئوپلیمری، علی الخصوص نقش پر کنندگی فضاهای موینه بین لایه ای و چسبندگی در نواحی انتقال بین سطحی (ITZ)، منتج به افزایش خصوصیات دوام در بتن گردیده است.

تحقیقات نشان داده است که بتن ژئوپلیمر ۹۰ روزه نسبت به بتن معمولی، ۴۰ درصد جذب آب موینه کمتری دارد که تاثیر واکنش های پوزولانی در پر کردن منافذ از علل این امر می باشد (بزکورت و یازج اوقلو^۱، ۲۰۱۰). همچنین براساس تحقیقاتی دیگر، در بتن ژئوپلیمری سرباره ای، میزان جذب موینه آب در سن ۹۰ روز عمل آوری مقدار ۲۲ درصد بهبود را نسبت به جذب موینه آب در بتن معمولی در همین سن دارا بوده است (رمضانیانپور و همکاران، ۲۰۱۸).

براساس نتایج حاصله در پژوهش حاضر، سرعت جذب موینه آب در بتن ژئوپلیمری در دوره های عمل آوری مشابه، کمتر از بتن کنترل می باشد، این امر می تواند به علت تراکم بالای ماتریس سیمان ژئوپلیمری ناشی از تکمیل فرایند ژئوپلیمریزاسیون باشد. با افزایش مصرف نانوسیلیس تا میزان ۸ درصد در ترکیب بتن ژئوپلیمری

بیشتر ذرات نانوسیلیس در طرح ها، کاهش پیدا کرده است. در تصاویر مشهود است که نحوه پیوندهای خمیر سیمان با سنگدانه (و الیاف) در ناحیه انتقال بین سطحی در بتن ژئوپلیمری با افزایش نانو ذرات سیلیس بهبود پیدا کرده است، زیرا تحت این شرایط (حضور نانوسیلیس بیشتر در ترکیب) با گذشت زمان عمل آوری (در سن ۹۰ روزه)، با توجه به پیشرفت فرایند ژئوپلیمریزاسیون، از میزان و حجم ذرات واکنش نکره کاسته شده و ناحیه انتقال بین خمیرسیمان ژئوپلیمر و سنگدانه (و الیاف پلی آلفین) تقویت شده است. از طرفی تحقیقات نشان داده است که بهبود چسبندگی، هنگام استفاده از الیاف پلی آلفین می تواند به علت کاهش حفره های هوا در فصل مشترک ماتریس و الیاف ایجاد شود (اینفداکیو^۲ و همکاران، ۲۰۱۷).

در تحقیقی دیگر، تجزیه و تحلیل SEM بر روی بتن حاوی نانو ذرات نشان داد که ذرات نانو فضای خالی موجود در ریزساختار بتن را پر می کند، که منجر به ایجاد یکنواختی، خلاً کمتر و ماتریس ژئوپلیمری فشرده می شود (اسدی و همکاران، ۲۰۱۹). همچنین بررسی ها نشان داده است که واکنش پوزولانی با تبدیل CH به C-S-H ریزساختارهای بتن را متراکم کرده و موجب همگنی در ترکیب می شود (دو^۳ و همکاران، ۲۰۱۴).

ساختار نانوسیلیس و سرباره کوره آهنگدازی شناخته می شوند، کلسیم و سدیم نیز از عناصر اصلی تشکیل دهنده محلول قلیایی مصرفی در بتن ژئوپلیمری سرباره ای در این تحقیق شناخته می شوند. روند افزایش مصرف نانو ذرات سیلیس در طرح های بتن ژئوپلیمری در نتایج جدول مشهود است، بر این اساس حداقل میزان نانوذرات سیلیس در طرح های ۴، ۵ و ۶ دیده می شود و حداقل آن در ترکیب بتن طرح ۲ مشاهده می گردد، حداقل و حداقل میزان اکسیدآلومینیوم موجود در ترکیب به ترتیب متعلق به طرح ۲ و ۱ است. حضور اکسیدهای آهن و منیزیم در محدوده ۲ درصد الی ۷ درصد در نوسان هستند، وجود اکسیدهای پتاسیم و گوگرد در محدوده ۱ درصد الی ۲ درصد در تمامی ترکیب ها مشهود است و حضور اکسیدهای تیتانیم، فسفر و منگنز در اغلب طرح ها به مقادیر زیر ۱ درصد رسیده است. میزان افت حرارتی (LOI) ناشی از خروج مواد تحت حرارت در تمامی طرح ها تقریباً در یک رنج و در محدوده ۱۶ درصد مشاهده می گردد.

نتایج حاصل از آزمایش تصویر برداری میکروسکوپ الکترونیک روبشی (SEM) توسط دستگاه تصویر برداری با مدل FEI Quanta200 بر روی نمونه های بتن کنترل و بتن ژئوپلیمری در سن ۹۰ روزه با مقیاس ۵ میکرومتر در شکل(۸) نشان داده شده است، براساس این تصاویر مشاهده می گردد که طرح های حاوی ذرات نانوسیلیس و سرباره با توجه به مشارکت بیشتر در فرایند ژئوپلیمریزاسیون و تشکیل ژل های هیدراته شده (شامل نواحی تیره رنگ)، به خوبی فضاهای خالی و منافذ را پر کرده و تشکیل ساختاری متراکم و منسجم داده است. این موضوع در طرح ۱ حاوی بتن کنترل با تکمیل فرایند هیدراتاسیون و تشکیل ژل هیدراته کمتر، نیز به چشم می خورد.

بلورهای واکنش نکرده که در نتیجه ناخالصی های موجود در مواد اولیه و یا ذرات واکنش نکرده در فرایند هیدراتاسیون و ژئوپلیمیزاسیون بجای مانده اند و در تصاویر عمدتاً به رنگ سفید دیده می شوند با افزایش مقادیر

^۲ Enfedaque

^۳ Du

^۱ Loss on ignition

جدول(۷): نتایج آزمایش XRF

مقادیر ماده در هر طرح						ماده
طرح ۶	طرح ۵	طرح ۴	طرح ۳	طرح ۲	طرح ۱	
۳۶/۸۳۴	۳۷/۰۷۶	۳۶/۳۳۱	۳۲/۰۲۶	۱۹/۵۷۴	۲۷/۱۲۲	(SiO ₂) سیلیس
۶/۹۱	۷/۱۲۹	۷/۰۱۳۱	۶/۷۲	۸/۰۷۳	۵/۶۳۹۵	(AL ₂ O ₃) اکسید آلومنیوم
۱۵/۱۸۶	۱۵/۳۱۲	۱۵/۲۵۷	۲۳/۰۶۹	۲۶/۸۱۵	۳۷/۱۶۹	(CaO) اکسید کلسیم
۳/۰۱۹	۱۲/۶۴۹	۱۲/۸۷۲	۹/۰۱۶	۱۵/۱	۱/۱	(Na ₂ O) اکسید سدیم
۴/۰۱۲	۳/۷۹	۳/۹۴	۳/۹۴	۵/۶۴	۷/۲۰۹۸	(Fe ₂ O ₃) اکسید آهن
۲/۸۹۳	۳/۱۵۲	۳/۰۱۳۳	۴/۰۱۴	۵/۰۵۱	۲/۱۱۴	(MgO) اکسید منیزیم
۱/۱۴۷	۱/۱۲۹	۱/۰۵۲۶	۱/۰۱۵	۱/۰۱۳	۰/۹۱۴۴	(K ₂ O) اکسید پتاسیم
۱/۹۸۷	۱/۹۰۲	۲/۸۲۲	۱/۸۷۵	۱/۱۶۴	۱/۵۹۱۳	(SO ₃) اکسید گوگرد
۱/۲۰۱	۰/۰۳۹	۱/۱۷۳	۱/۰۸۶	۰/۹۶۱	۰/۴۷۲	(TiO ₂) اکسید تیتانیم
۰/۱۵۳	۰/۱۳۹	۰/۱۳۱	۰/۱۴۴	۰/۱۷۴	۰/۱۶۳	(P ₂ O ₅) اکسید فسفر
۰/۷۱۹	۰/۶۴۹	۰/۶۸۴	۰/۶۵۵	۰/۳۹۵	۰/۰۹۱	(MnO) اکسید منگنز
۱۵/۹۳۹	۱۶/۰۳۴	۱۵/۷۱۱	۱۵/۹	۱۶/۰۴	۱۶/۴۱۴	افت حرارتی (LOI)

ژئوپلیمر، موجب بهبود خواص مکانیکی و دوام این نوع

از بتن در اغلب موارد مورد آزمایش گردید.

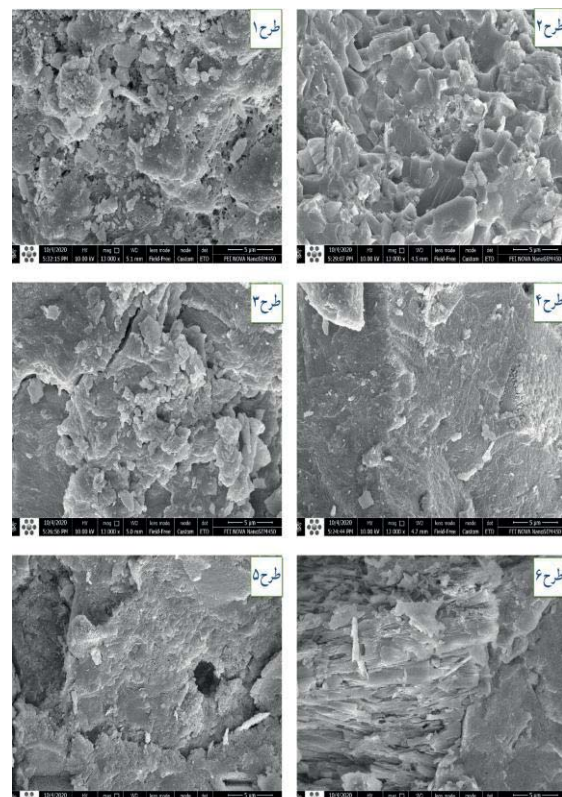
۲- بهترین عملکرد در میزان مقاومت فشاری بتن، متعلق به سن ۹۰ روزه طرح ۴ حاوی ۹۲ درصد سرباره، ۸ درصد نانوسیلیس و فاقد الیاف بوده است که ۳۲ درصد عملکرد بهتری نسبت به نتیجه بتن کنترل در همین سن دارا بود.

۳- بهترین عملکرد در میزان مقاومت کششی بتن متعلق به سن ۹۰ روزه طرح ۶ حاوی ۹۲ درصد سرباره، ۸ درصد نانوسیلیس و ۲ درصد الیاف بوده است که ۹ درصد بهبود مقاومت نسبت به نتیجه بتن کنترل در همین سن را به همراه داشت.

۴- بهترین عملکرد در میزان نفوذپذیری آب در بتن متعلق به سن ۹۰ روزه طرح ۶ بوده است که ۵۶ درصد بهبود در نفوذناپذیری آب نسبت به نتیجه بتن کنترل در همین سن را به همراه داشت.

۵- بهترین عملکرد در میزان جذب مویینه آب متعلق به سن ۹۰ روزه طرح ۶ بوده است که ۶۵ درصد بهبود در عدم جذب مویینه آب نسبت به نتیجه بتن کنترل در همین سن را به همراه داشت.

۶- نتایج حاصل از بررسی های ریزاساختاری حاصل از



شکل(۸): تصاویر میکروسکوپ الکترونیک رویشی

نتیجه گیری

۱- افزودن نانوسیلیس و الیاف پلی الفین به ترکیب بتن

- (2019). Mechanical Properties of Alkali Activated Slag Pastes and Determination of Optimum Values of Effective Factors. *Amirkabir Journal of Civil Engineering*, 50(6), 1043-1052.
- 11- Wang, K., Shah, S. P., & Phuaksuk, P. (2002). Plastic shrinkage cracking in concrete materials-Influence of fly ash and fibers. *ACI Materials Journal*, 99(5), 512-513.
- 12- Sadr Momtazi, A., Kohani Khoshkbijari, R., & Lotfi Omran, O. (2015). Mechanical and Durability Properties of Self Compacting Concrete containing Nano Silica Particles considering Optimum Percentages of Fibers. *Concrete Research*, 8(2), 19-34.
- 13- Tajodeni, M. (2016). , In vitro evaluation of the effect of adding nanosilica with different specific surfaces on physical and mechanical parameters of soil-cement aggregates. *Sharif Journal of Civil Engineering*, 24-2(1/1), 13-22.
- 14- Ahmad, S. I., & Hossain, M. A. (2017). Water permeability characteristics of normal strength concrete made from crushed clay bricks as coarse aggregate. *Advances in Materials Science and Engineering*, 2017.
- 15- Bozkurt, N., & Yazicioglu, S. (2010). Strength and capillary water absorption of lightweight concrete under different curing conditions.
- 16- Ramezanianpor, A., Bahmanzadeh, F., Zolfagharnasab, A., & Ramezanianpour, A. M. (2018). Studying the Effect of the Amount of Source Materials and Water to Binder Ratio on Chloride Ions Ingress in Alkali-Activated Slag Concretes.
- 17- Enfedaque, A., Alberti, M. G., Paredes, J. A., & Gálvez, J. C. (2017). Interface properties of polyolefin fibres embedded in self-compacting concrete with a bond improver admixture. *Theoretical and Applied Fracture Mechanics*, 90, 287-293.
- 18- Assaedi, H., Alomayri, T., Shaikh, F., & Low, I. M. (2019). Influence of nano silica particles on durability of flax fabric reinforced geopolymers composites. *Materials*, 12(9), 1459.
- 19- Du, H., Du, S., & Liu, X. (2014). Durability performances of concrete with nano-silica. *Construction and building materials*, 73, 705-712.
- 20- black rice husk ash. *KSCE Journal of Civil Engineering*, 20(6), 2384-2391.

آزمون های XRF و SEM بر روی نمونه های بتونی، در هماهنگی و همپوشانی با نتایج سایر آزمون ها در این تحقیق قرار داشتند.

منابع و مراجع

- 1- de Toledo Pereira, D. S., da Silva, F. J., Porto, A. B. R., Candido, V. S., da Silva, A. C. R., Garcia Filho, F. D. C., & Monteiro, S. N. (2018). Comparative analysis between properties and microstructures of geopolymeric concrete and portland concrete. *Journal of Materials Research and Technology*, 7(4), 606-611.
- 2- Dabbagh, H., & Akbarpour, S. (2017). Behavior of Structural Lightweight Concrete Containing Nano Silica and Steel Fibers under Compressive Monotonic Loading. *Concrete Research*, 10(1), 35-46.
- 3- Pilehvar, S., Cao, V. D., Szczotok, A. M., Carmona, M., Valentini, L., Lanzón, M., ... & Kjønigsen, A. L. (2018). Physical and mechanical properties of fly ash and slag geopolymers concrete containing different types of micro-encapsulated phase change materials. *Construction and Building Materials*, 173, 28-39.
- 4- Kumar, S., Gautam, P. D., & Kumar, B. S. (2019). Effect of Alkali Activator Ratio on Mechanical Properties of GGBS based Geopolymer Concrete. *IJITEE*, 8, 947-952.
- 5- Deb, P. S., Nath, P., & Sarker, P. K. (2015). Drying shrinkage of slag blended fly ash geopolymers concrete cured at room temperature. *Procedia Engineering*, 125, 594-600.
- 6- Moghaddam, S. C., Madandoust, R., Jamshidi, M., & Nikbin, I. M. (2021). Mechanical properties of fly ash-based geopolymers concrete with crumb rubber and steel fiber under ambient and sulfuric acid conditions. *Construction and Building Materials*, 281, 122571.
- 7- Malkawi, A. B., Nuruddin, M. F., Fauzi, A., Almattarneh, H., & Mohammed, B. S. (2016). Effects of alkaline solution on properties of the HCFA geopolymers mortars. *Procedia engineering*, 148, 710-717.
- 8- Venkatesan, R. P., & Pazhani, K. C. (2016). Strength and durability properties of geopolymers concrete made with ground granulated blast furnace slag and 50(6), 1043-1052.
- 9- Nofallah, M. H. (2018). Effect of sodium hydroxide solution concentration and sodium silicate to sodium hydroxide ratio on the compressive strength and water absorption of slag based alkali-activated concrete. *Concrete Research*, 11(2), 95-103.
- 10- Jafari Nadoushan, M., & Ramezanianpour, A.

Evaluate of Structural and hydraulic properties of Geopolymer Concretes blast furnace slag by using nanosilica and polyolefin fiber in Concrete Dams

Mohammadhossein mansourghanaei¹
Morteza Biklaryan^{2*}
Alireza mardokhpour³

ABSTRACT

In the present study, in order to make geopolymer concrete for use in concrete dams, 6 mixing designs including 288 concrete samples of control concrete containing Portland cement and slag geopolymer concrete containing 0 to 8% nanosilica and 1 to 2% polyolefin fibers were prepared. 7, 28 and 90 days processing were subjected to mechanical and durability tests. In order to study the microstructure in this study, XRF and SEM tests were used. The results show that the compressive strength, tensile strength, water impermeability, capillary water absorption for geopolymer concrete containing 8% nanosilica and 2% polyolefin fibers (as an optimal design) compared to control concrete, by 3%, respectively, 9 %, 56% and 65 times at 90 days of processing. In this regard, the maximum values of compressive strength and tensile strength obtained were 82.96 and 5.51 MPa, respectively, and the minimum amount of water penetration in concrete was 13 mm and the minimum rate amount of water capillary absorption was 0.049 Cm/s^{1/2} for geopolymer concrete. SEM images showed that the geopolymerization process was enhanced by producing more hydrated gels and improving the microstructure of geopolymer concrete by increasing the presence of silica nanoparticles.

Keywords

Geopolymer Concrete, Blast furnace slag, Nanosilica, Polyolefin fibers, Geopolymer Concrete Dam.

1- Ph.D Student in Civil Engineering, Department of Civil Engineering, Chalous Branch, Islamic Azad University, Chalous, Iran.

2*- Department of Civil Engineering, Chalous Branch, Islamic Azad University, Chalous, Iran. M.biklaryan@iauc.ac.ir

3- Department of Civil Engineering, Lahijan Branch, Islamic Azad University, Lahijan, Iran.